

实验技术简讯

扩展 X 射线吸收精细结构的实验方法研究

陈 玉 王文采 嵇益民

(北京大学物理系)

一、引言

扩展 X 射线吸收精细结构(EXAFS)是一种新的结构分析方法^[1]。测定 EXAFS 要求的实验条件较高,数据处理与分析也较复杂^[2,3]。我们利用 12kW 转靶 X 射线源在衍射仪样品台上放置平晶作分光晶体,开展了 EXAFS 实验方法的研究。对有关的实验技术和数据处理等问题初步作了一些工作。

二、实验方法

EXAFS 的测定采用透射法,测量经吸收体吸收前、后射线强度 I_0 与 I 随能量的变化。应用 Rigaku RU-200 12kW 转靶 X 射线源及 D/max-rA 型 X 射线衍射仪。实验条件一般为:银靶 20 kV, 70—150 mA, 入射和散射狭缝取 1/2—2°, 接收狭缝为 0.15 mm, 分光晶体为 LiF(200) 平晶, 待测试样放置接收狭缝前。采用阶梯扫描, 定时计数。测定了铁、锗、硒及非晶硒的 K 边 EXAFS。研究表明, 由于射线强度仍较低, 测量所需的时间较长, 而且必须注意选取实验条件。

1. 避免高次谐波及杂质发射线的影响

连续谱中的短波部分, 可能使分光晶体产生高次衍射, 这种高次谐波对应的波长短, 穿透性更强, 所以高次谐波几乎未经吸收就叠加在 EXAFS 上, 将使 EXAFS 大大减弱、变模糊、并发生畸变, 这必须避免。采用较低管压以防止在测定 EXAFS 的波段产生高次谐波, 或应用配

有能量滤波的探测器都能消除高次谐波的影响。我们在实验中选用管压 20kV(受设备最低管压值所限), 此值在测定铁的 EXAFS 时仍未能避免高次谐波的影响。

使用通常的 X 射线源, 另一个干扰是连续谱中伴有的发射线, 钨灯丝造成的 L, M 等发射线系经常会遇到。这些线有的尽管很弱, 其强度亦在探测系统的线性区内。实验发现, 其影响难于完全消除。由于射线源稳定性好和计数管角位置不完全对应等因素, 因而分别测定经吸收体吸收前后这种发射线的强度分布时, 线型基本对应, 但并非完全对应。作 $\ln \frac{I_0}{I}$, 即补入新

的振荡起伏, 使原精细结构发生畸变。所以在测定 EXAFS 时, 须注意测定的波段内连续谱中不能包含发射线。测定铁 K 边的 EXAFS 时, 发现距吸收边约 270 eV 处存在钨的 L_{2,3} 线, 因此, 我们采用了自己绕制的钼灯丝进行实验。由于绕制技术和钼的熔点所限, 使用银靶, 钼灯丝较长, 工作时间长, 管压 20kV 时最大管流仅能达 70 mA。测量铁的 K 吸收时, 计数率为: $I_0 \sim (1-2) \times 10^4$, $I \sim (4-10) \times 10^3$ 计数/s, 定时计数总计数取为 $(1-2) \times 10^5$, 基本上可满足测量的要求。

2. 试样制备及最优厚度

透射法需用薄膜试样, 薄膜制备可采用轧制、细粉制箔及各种镀膜技术。实验对膜的均匀性要求较高, 小的针孔、裂纹等将造成射线不经吸收直接透过, 因而使 EXAFS 减弱, 甚至一些结构消失。此外, 还需选择试样的最优厚度。考虑对比度、测量时间等, 用衍射仪测量, 一般可选取试样厚度使吸收边短波侧吸收前后射线

的强度 I_0 与 I 之比为 $I/I_0 \sim 1/3^{[2]}$ 。据计数统计误差、最佳信噪比,要求 $\mu_{Tx} = 2$ 或 $2.6^{[3]}$ 。当取 $\mu_{Tx} = 2$ 和吸收边处 $\Delta\mu_x = 1.5$ 时,可得吸收边两侧长波与短波方面吸收后的强度 I_1 与 I_2 之比应为 $I_2/I_1 \sim 1/4.5$ 。

测定铁K边 EXAFS 的试样为冶金工业部钢铁研究总院轧的铁箔,厚约 $2\mu\text{m}$,数层叠起。实验发现,试样 I_2/I_1 达 $1/5$ 时,精细结构不如试样较薄 ($I_2/I_1 \sim 1/3$) 时明显,这可能与二次谐波的影响有关。因为试样厚时,谐波的影响大。测量锗的吸收时,试样是由细粉加胶制成薄膜,数层叠加。但试样 $I_2/I_1 \sim 1/3$ 时,结果也不够好,可能与所制试样的均匀性不够好,存在小针孔等因素有关。

3. 测量方式

为保证 $\mu_x = \ln I_0/I$ 测量的准确,要求准确测量 I_0 和 I 以及二者完全对应。除了 I_0 强度大、稳定性高外,还需采用适当的测量方法。最近发展的先进方法是,对应一定的能量, I_0 和 I 同时分别测定。另一种通用办法是:利用试样反复地移出或置入光路的装置,对应一定的能量依次分别测定 I_0 和 I 。应用衍射仪连续测量时,这两种方式都需要附加一定的装置才能实现。

因此,我们采用了另一种 I_0 和 I 非同时测量的方法,即 I_0 和 I 的分别连续测量。在测量的能量范围,用阶梯扫描连续测定入射线强度随能量的变化 $I_0(E)-E$,再装上试样,于同一范围测量吸收后强度的变化 $I(E)-E$ 。在入射线强度达 $(1-2) \times 10^4$ 计数/ s ,吸收后强度为 $(4-10) \times 10^3$ 计数/ s 时,测量一次约需 6—8 小时。这种方式尽管由于测量对应同一能量的 I_0 和 I 间隔的时间较长会引入误差,但实验表明,当 X 射线源的电压与电流稳定性分别为 0.1% 时,在实验期间内强度变化造成的影响与其他的实验误差相比,这种方法是可行的。此外,它避免了试样反复置入移出光路,不存在试样的再现性问题,较运用前述第二种测量方式手动操作可大大缩短测量时间,减小了射线强度不稳定的影响,装置和测量也都较简便。

物理

4. 晶体的选用

为提高分辨率,分光晶体及其质量要认真选择,位置要精细调节。因能量分辨率 $E/\Delta E = \tan \theta / \Delta \theta$,角度越大分辨率越高。而待测吸收边波长 λ 对应的角度 θ 由分光晶体的晶面间距决定: $2d \sin \theta = \lambda$,因此面间距小的晶面有利。

晶体选择的另一因素是晶面的反射系数。通常选用 LiF(200),它的反射系数大,可获得较大的强度。但当分辨较差时,即需选用 d 值小的晶面。测定铁的 K 吸收,用 LiF(200), 2θ 的测量范围在 $42.5-52.5^\circ$,结果很好。但对锗、硒进行测量时, 2θ 处于 $19-33^\circ$,分辨率即差些。改用 Si(400) 测定锗的 K 边 EXAFS,分辨率有提高,但强度减弱。

三、实验结果和数据处理

实验的原始数据是吸收前后的强度随角度的变化 $I_0(\theta)$, $I(\theta)$ 。对多次测量平均后,数据处理主要步骤为:计算 μ_x ,扣除背底和单原子的吸收,将 EXAFS 函数 $\chi(k)$ 作傅里叶变换求出径向结构函数 $\phi(r)$ 。

图 1, 2 分别给出测定铁的 K 吸收系数随能

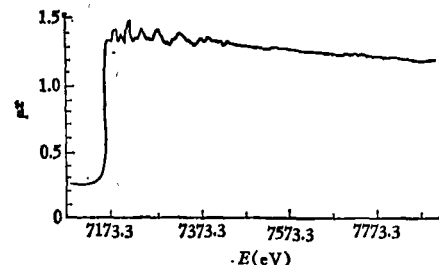


图 1 铁的 K 吸收系数 μ_x 随能量 E 的变化

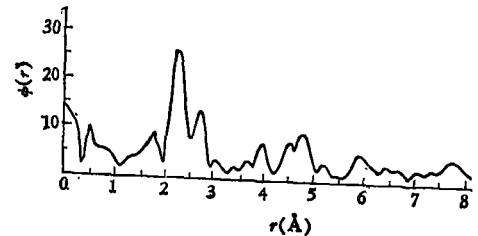


图 2 傅氏变换后求得的铁的径向结构函数 $\phi(r)$

(下转第 363 页)